

# 中国林学会 1962年学术年会论文选集

中国林学会編



农业出版社

中国林学会  
1962年学术年会論文选集

中国林学会編

农业出版社

**中国林学会 1962 年学术年会論文选集**

中国林学会編

农业出版社出版

北京老钱号一号

(北京市书刊出版业营业许可证出字第106号)

新华书店北京发行所发行 各地新华书店经售

农业出版社印刷厂印刷装订

统一书号 16144·1385

1964年4月北京制型

开本 787×1092 毫米

1964年8月初版

十六分之一

1964年8月北京第一次印刷

字数 335 千字

印数 1—1,900 册

印张 十六又三分之二

定价 (科七)二元三角

## 說 明

- 一、中国林学会于1962年12月17—27日在北京举行了学术年会。这次会議共收到各地林学会选送的学术論文203篇(其中造林75篇,森林經營58篇,森林保护33篇,木工12篇,林化5篇,机械12篇,經濟8篇)。这些論文一般都体现了林业、森林工业方面比較重要的研究成果,显示了在党的领导下,社会主义林业科学水平的提高。
- 二、为使这些主要研究成果起到为生产服务的作用,特选出21篇有关造林、經營、保护、木工、机械等五个方面的学术論文汇編成集,供大家参考。由于篇幅所限,未能一一刊登,敬希讀者原諒。
- 三、本集中的論文,在学术观点或研究方法上如認為有不妥之处,本着百花齐放,百家爭鳴的精神,欢迎批評指正。

1963年8月5日

## 目 录

### 說明

- 东北西部地区防护林的防风效益 ..... 朱廷曜等( 1 )  
铝业工厂排出有毒气体对农林植物危害的調查研究 ..... 韩麟鳳等( 14 )  
黑龙江省苏打盐漬土造林树种引种問題 ..... 周陸勳等( 24 )  
粉簾竹、大头竹生长特性和育苗造林 ..... 李漢英( 36 )  
落叶松幼林光合作用的研究 ..... 姚 瑞等( 47 )  
白櫟次生林改造及改造后的觀測 ..... 孙章鼎( 58 )  
紅松的林学特性及其更新的若干問題 ..... 周重光( 62 )  
关于黑龙江省小兴安岭森林更新的若干技术問題 ..... ( 77 )  
东北林区沼泽地排水与落叶松更新及林木生长关系的研究 ..... 伍荔梨等( 88 )  
論川西高山林区采伐迹地人工更新的問題 ..... 楊玉坡等( 99 )  
关于編制立木材积表的两个問題的探討 ..... 毛繩緒等( 112 )  
馬尾松毛虫成虫扩散迁移規律的研究初报 ..... ( 128 )  
栗实象岬初步研究 ..... 孙永春( 138 )  
云南文山地区松毛虫生活习性初步觀察及防治試驗 ..... 罗从富等( 151 )  
河口垦区白蚁的初步調查报告 ..... 赵丛礼( 161 )  
馬尾松育苗地段上镰刀菌的研究 ..... 郭秀珍( 169 )  
国产栓皮性质的初步研究 ..... 王明麻( 185 )

- 木材热冷槽法防腐处理的研究 ..... 湯宜庄(198)  
纖維板圓網成型机工艺参数的探討 ..... 王培元(209)  
ST-1型架空索道 ..... 何乃彰等(226)  
YZ-II型挖坑机 ..... 回克礼(244)

# 东北西部地区防护林的防風效益

朱廷曜 梁希全 韩树庭

(中国科学院林业土壤研究所)

东北西部和内蒙古东部地区(简称西部)的大自然改造，已有十年之久。十年来虽已收到很大效果，但各种防护林类型的优劣比较，研究尚少。其对农业的作用争论不一，或因林带结构和林网规划适合当地自然条件和经济条件而为群众所拥护；或因与当地自然环境与经济条件有抵触而难推行。许多生产部门要求根据各自的经济条件和自然条件，设计出最合理的林带规格和配置方案。为此目的，1961年秋，中国科学院林业土壤研究所和其他有关单位共同对五条结构不同的林带进行了观测，以期得到各种结构的林带所产生的局部小气候条件，供生产部门根据其具体条件和各种目的作防护林设计时参考之用。

对农田防护林来说，以农作物产量作为林带效益检定的标准是最直接的，但作物产量受其他因子的影响——如耕作制、种子优劣、水肥状况和管理措施等，很难对林带的作用得到肯定的结果。因此，根据在林带影响下的气象条件，对作物生长更有利还是更不利来间接估价林带的效益，是一种较好的方法。这次考察主要是观测了几种主要林带结构类型的小气候状况，因西部地区的主要气象灾害因子是春季大风，由于篇幅所限，本文仅讨论林带的防风作用。

## 一、研究方法和使用仪器

在研究林带气象效应考察时，常把林带分为三类或四类<sup>[1,3]</sup>，在西部的防护林气象效应的观测中，林带的结构基本上可以分为两大类型，即通风结构林带和均匀透风结构林带。

**(一)通风结构林带** 通风结构林带的特点是林冠部位密不透风或很少透风，而树干部位易于通风，其结构主要为乔木，或乔木与亚乔木混合构成。如图2、4所示，其减弱风速的

本工作承王正非和曹新林二位先生多方面指导，提供许多宝贵意见，笔者谨致谢意。

作用視其高度、宽度、株行距和林冠大小等而定。在极端情况下，林带极宽，株距极小，林带实际上起着片林的作用。

**(二)均匀透风結構林带** 这种类型林带上下部分通风情况均一，其組成主要为灌木，或由乔木、灌木层层相连构成(如图1、3)，其特点是侧面望去，上下各部位孔隙度差不多，枝叶互相交错，状如蛛网。减弱风速的作用視侧面透光孔隙程度、风速大小和林带宽度而定。当林带較宽，枝叶茂密，实际上可以視為一道綠牆，或特称为緊密結構林帶。

林带类型并不是固定的，而是随着树木生长发育或人工措施，可以改变其結構类型。如未經整枝的幼林带可以认为是緊密結構林带，但当成林之后，下部整枝，可以通风即改变为通风結構林带。

林带对气候条件的影响是多方面的，它产生空气动力的效应，也有着热力的效应。西部防护林营造的主要目的在于防止春季的风沙对农作物播种及幼苗的危害；保存冬春积雪平坦的复盖原野和防止道路积雪；减少土壤的物理蒸发，保存水分；改变林网内的小气候环境条件等。

风沙的起因，积雪的分布状况，蒸发的大小，不仅和风速有关，也和乱流交換强度有关<sup>[3]</sup>。当垂直切应力超过某一定值时，则将地表沙粒、雪花等质点抬离地面，由于垂直乱流传输的作用，使这些质点升高到一定高度，又受水平气流的影响而向前移动一定距离，終因重力作用而重新降到地表面。故风蝕强弱不仅和风速有关，也和乱流交換强弱有密切关系。

根据研究<sup>[5,6]</sup>地表輸沙量和乱流交換的关系为：

$$Q_0 = A \frac{\rho}{g} V_*^3 \quad (1)$$

其中  $Q_0$  为通过垂直风向单位宽度、单位时间的輸沙量， $A$  为一常数， $V_*$  为动力速度，其定义为下式所确定：

$$V_*^2 = \frac{\tau}{\rho} = -K \frac{\partial u}{\partial z} \quad (2)$$

其中  $\tau$  为摩擦切应力， $u$  为风速，代入(1)即可看出  $Q$ ，随  $\left[ K \frac{\partial u}{\partial z} \right]^{\frac{3}{2}}$  而正变，故比較防护林的防止风沙的作用应考虑在林带防护下， $V_*$  的变化。因  $V_*$  不易求得，而采用对比法估計林带的作用，即：

$$\frac{Q'_0}{Q_0} = \frac{A \frac{\rho}{g} V'^3}{A \frac{\rho}{g} V_*^3} = \left[ \frac{K' \left( \frac{\partial u}{\partial z} \right)'}{K \left( \frac{\partial u}{\partial z} \right)} \right]^{\frac{3}{2}} \quad (3)$$

其中带“'”号者为林带防护下的值，不带“'”号者为对比点的值，其中：

1. 风速梯度值  $\frac{\partial u}{\partial z}$  直接觀測两高度上的风速，計算得到。

2.  $K$  值采用对比法計算<sup>[3]</sup>, 从热量平衡方程出发:

$$R - B = LE + P \quad (4)$$

其中  $R$  为辐射差額,  $B$  为土壤热传导,  $L$  为汽化潜热,  $E$  为蒸发量,  $P$  为乱流热通量, 根据热通量和水汽通量方程:

$$P = -\rho C_p K \frac{\partial t}{\partial z}$$

$$E = -\rho K \frac{\partial q}{\partial z}$$

其中  $K$  为乱流交换系数,  $t, q$  分别为空气溫度和混合比湿,  $\rho C_p$  为空气的密度及定压比热,  $z$  为高度, 上两式由  $z_1$  积分到  $z_2$ , 且因近地层中乱流热通量和水汽通量为一常数, 则得:

$$P = \frac{\rho C_p (t_1 - t_2)}{\int_{z_1}^{z_2} \frac{dz}{K}} \quad (5)$$

$$E = \frac{\rho (q_1 - q_2)}{\int_{z_1}^{z_2} \frac{dz}{K}} \quad (6)$$

因  $K$  是高度的函数, 令  $K = K_1 \varphi(z)$ , 其中  $K_1$  是 1m 处的  $K$  值則:

$$\int_{z_1}^{z_2} \frac{dz}{K} = \frac{1}{K_1} \int_{z_1}^{z_2} \frac{dz}{\varphi(z)} \quad (7)$$

以(5)、(6)、(7)代入(4)式化簡則得下式:

$$K_1 = \frac{(R - B) \int_{z_1}^{z_2} \frac{dz}{\varphi(z)}}{\rho [L(q_1 - q_2) + C_p(t_1 - t_2)]} \quad (8)$$

此式对曠野或林带网格內均适合以帶“ $\wedge$ ”号者表示林带內的值, 則得:

$$\frac{K'_1}{K_1} = \frac{R' - B'}{R - B} \cdot \frac{L(q_1 - q_2) + C_p(t_1 - t_2)}{L(q'_1 - q'_2) + C_p(t'_1 - t'_2)} \quad (9)$$

其中  $t_1, t_2$  和  $q_1, q_2$  分別表示  $z_1, z_2$  高度上的溫度和比湿, 因为在我们的觀測場內, 地表状况均一, 土壤相同, 故  $B'$  与  $B$  可以认为相差很小, 且其数量級很小約为 0.05—0.09 卡/cm<sup>2</sup>·分。而夏季觀測期間  $R$  值約為 0.5—1.0 卡/cm<sup>2</sup>·分。故式中可以略去  $B$  的影响。  $R$  及  $R'$  的差值亦很小, 此次觀測测不出其显著的差异, 只有当距林带很近时(小于 2 H)略有差別, 故取  $\frac{R' - B'}{R - B} \approx 1$ 。(9)式可簡化为:

$$\frac{K'_1}{K_1} = \frac{L(q_1 - q_2) + C_p(t_1 - t_2)}{L(q'_1 - q'_2) + C_p(t'_1 - t'_2)} \quad (10)$$

故只觀測溫度梯度及湿度梯度即可求出  $\frac{K'}{K}$  值来。

(三)乱流交换系数随高度而变,因而在表征近地层乱流交换的状况时,常常采用外扩散系数  $D^{[3]}$ , 与  $K$  有如下关系:

$$\frac{1}{D} = \int_{z_0}^z \frac{dz}{K(z)}$$

计算  $D$  时采用下式<sup>[3]</sup>

$$\frac{D'}{D} = \frac{5}{4} \cdot \frac{tw - t}{t'w - t'} - \frac{1}{4} \quad (11)$$

此半經驗公式在夏季中午  $\frac{L(E-E')}{\rho} < 1$  时是比较可靠的。故亦对此式作了計算,为了比較起見亦采用下式計算  $K$  之比值:

$$\frac{K'_{D_1}}{K_{D_1}} = \frac{D'}{D} \cdot \frac{(t_1 - t_2)(t'_w - t')}{(t'_1 - t'_2)(t_w - t)} \quad (12)$$

$K_{D_1}$  与  $K_1$  只是計算方法不同,而表示同一物理量。

关于林带的防风作用亦采用对比覈測,并以下面两个指标来表示:

1.透风度  $\alpha$ : 以林带影响下的风速与曠野风速之比表示林带减弱风速的作用。即:

$$\alpha(x) = \frac{u_x}{u_0} \quad (13)$$

其中  $u_x$  为距林緣的距离为  $x$  处 1 m 高的风速,  $u_0$  为曠野风速。

2.以防护效益积分值  $S$  表示林带防护的总效益。

$$S = \frac{\int_{l_1}^{l_2} [1 - \alpha(x)] dx}{1 \cdot \int_{l_1}^{l_2} dx} = \frac{\sum_{i=1}^{\alpha(l_2)} [1 - \alpha(x)] \Delta x}{(l_2 - l_1) \cdot 1} \quad (14)$$

此值表示出林带防风范围和减弱风速程度的綜合結果,可以理解为是在林带范围内单位距离上平均空气动量的减少率,即式:

$$[1 - \alpha(x)] = \frac{u_0 - u_x}{u_0}$$

其中  $u_0$  可視為曠野单位质量空气所有的动量,  $u_x$  为  $x$  处单位质量空气的动量,故为风的动量减少率,对  $x$  的积分表示由  $l_1 - l_2$  的距离內的平均值。因覈測的林网范围有的較小,为便于比較起見,取  $l_1 = -10$  H,  $l_2 = 20$  H。

覈測場的設置如图 5 所示“ $\times$ ”为测风位置,“ $\otimes$ ”为测风及溫湿梯度覈測,“ $\odot$ ”为风、地溫、总辐射覈測点。由于受人力及覈測仪器的限制,不是每一个点都进行了这些覈測项目,而是根据具体条件放弃一些点,或改变覈測位置。测点旁所标数字为距林带的距离(具体覈測项目见表 2、3、4、5)。

覈測中所用仪器为:

(1)风速覈測: 用叶片式微风仪,覈測前曾进行过对比覈測,相互之間的差別不大于

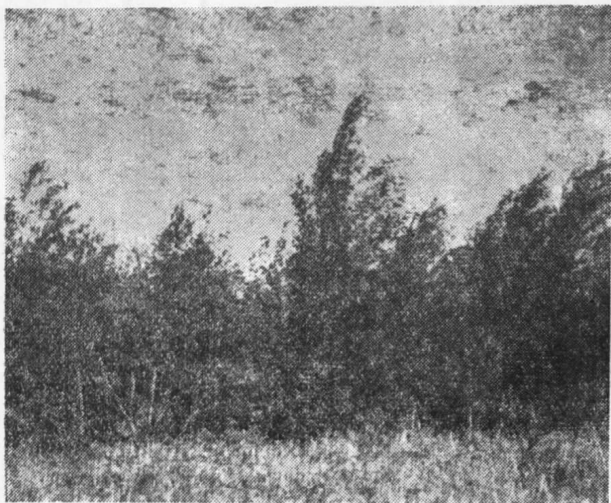


图 1

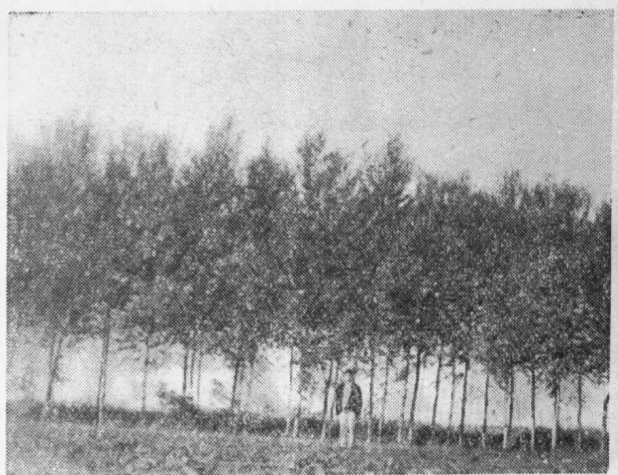


图 2



图 3-1

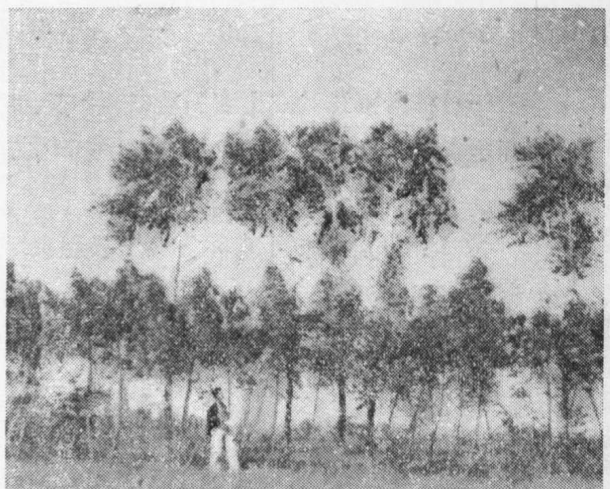


图 3-2



图 3-3

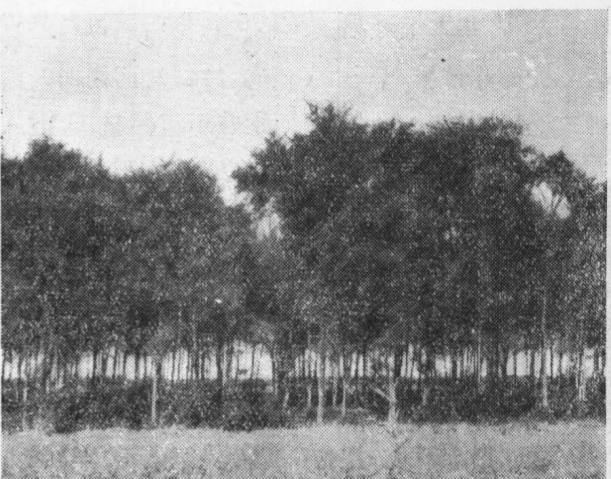


图 4

0.2 m/cm<sub>4</sub>

(2)輻射觀測：采用雅尼舍夫斯基式天空輻射儀，觀測前作過校正，結束之後因運輸中破損，未能重校。

(3)溫濕梯度觀測：采用半導體熱敏電阻作感應元件之溫濕隔測儀，出發前與結束之後均進行過檢定，除表 5 中畫※號者外，沒有顯著變性，溫度差在±0.1°C 以內。

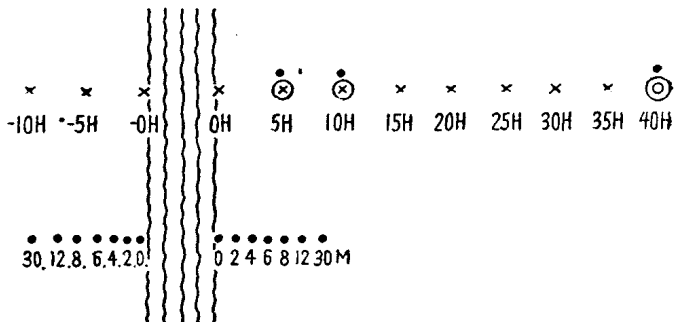


图 5 觀測場布置示意圖

## 二、觀測結果的分析

(一)林帶概述 文中所引資料，№ I、II、III-1、III-2、IV 为秋季觀測，期間較短，№ III-3 为春季觀測，期間有一个多月(風速觀測儀器為小笠原式風向風速表)，林帶結構特点分述如下：

№ I：該林帶位於吉林省洮安縣魏家段附近，為純小葉楊林帶，這里原為平坦的大草原牧區，自1956 年開始營造林網，今已蔚然成林。觀測林網為平坦的草地，蓋度 8—9%，草高 30cm 左右，地勢平坦均一，網格大小為  $1.5 \times 1.5 \text{ km}^2$ ，林帶走向 NNE-SSW ( $250^\circ$ )，40H 点距第二條林帶尚有 200 倍樹高，故可以認為此點不受下一林帶的影響。林帶結構示於表 1 及圖 1。

№ II：林帶位於吉林省扶余縣八家子附近。原為七行，中間三行小葉楊，平均 10m 高，兩邊各一行糖槭為亞喬木，但多被破壞僅有零星幾株，更外面是兩行灌木，已全被破壞，極少存在，基本上可以認為是三行楊樹通風林帶。其結構特徵如表 1 及圖 2。林帶兩邊為農田，被測林帶呈 NW-SE 走向 ( $315^\circ$ )，西南面為白菜地，遠處是秋翻地，東北面是大豆尚未收割，豆秆高 60—80cm，兩面地勢平坦，網眼大小為  $1.5 \times 0.4 \text{ km}^2$  即主帶間距離僅為高的 40H，且林網彼此相連互相影響，很難找到不受林帶影響的空曠地帶作為對比點。因此溫濕梯度及風速梯度觀測對比點取在 25H 处，顯然所得結果僅表示林帶影響的程度和距離的關係，並不能代表比曠野減弱多少。曠野風速採用扶余氣象站測風按風速對數分布律訂正到觀測高度，該站距試驗地約 10 华里。

№ III-1、III-2、III-3：這三條林帶位於遼寧省昌圖縣朱家附近，為均勻透風結構林帶。走向均為 NW-SE ( $315^\circ$ )，是當地農民自行營造的小林網，網格配置極不統一，習慣稱為“蜘蛛網式”小林網。主帶間距小者只有 80m，最大約 100m 左右。林帶結構以兩行灌木柳為主，

也有小叶楊林帶。土地為沙質壤，由於風蝕的結果，大多數網格呈小盆地型，如表2，但觀測地區大地形比較平坦。特別要加以指明的是，林網較密，很難找到不受林網影響的空曠地，但觀測中盡量選在比較開闊的地方，作曠野對比觀測點。

N<sub>o</sub> III-1林帶帶間距離僅20H，但第二條林帶遭到較大的破壞殘存無幾，故可以忽略其對15H處的附加影響。N<sub>o</sub> III-3林帶間距為100m約25H，與林帶N<sub>o</sub> III-1類似，但觀測期間為4—5月，尚無葉子。N<sub>o</sub> III-2為複層混交林，雖屬均勻透風結構，但太稀疏，下部修枝1.5m，類似通風結構。N<sub>o</sub> III-2，帶間距僅7H，樹高13m，故僅90m，顯然帶間距太小了一些。

N<sub>o</sub> IV：林帶位於內蒙古自治區哲里木盟通遼市附近，林帶兩邊為極其平坦的農田，對此點設在33H處，因更遠處(45H)有高秆作物的影響，林帶走向為W—E(90°)(圖4和表1)。

表1 N<sub>o</sub> I、II、III-1、III-2、III-3、IV林帶特徵

項 目	樹 種	行數	株 行 距	寬度 (m)	高度 (m)	修枝高 (m)	胸徑 (cm)	側視孔隙度 (%)	保存率 (%)	結 构	帶 距 (m)
N <sub>o</sub> I 洮 南	小葉楊	30	1.0×1.5	45	3	未修	4	0	>90	緊 密	1,500
N <sub>o</sub> II 扶 余	小葉楊	3	1.5×1.5	5	10	2.5	11		99	通 風	400
N <sub>o</sub> III-1昌圖	柳	2	1.5	5	5	丛生		10		均 匀 透 风	80
N <sub>o</sub> III-2昌圖	楊+柳	1	1.5	1.5	12 6	9 1.5	22 5	80		均 匀 透 风	90
N <sub>o</sub> III-3昌圖	柳	2	1.5	5	5	丛生		20		均 匀 透 风	107
N <sub>o</sub> IV 通 遼	小葉楊榆	21+4	1.5×20	54	12	6—7	13		53	通 風	2,000

表2 N<sub>o</sub> III-3林帶兩側平均坡度

位 置	SW 面							NE 面						
	距 离 (m)	12	10	8	6	4	2	0	0	2	4	6	8	10
平 均 坡 度		2.7	3.2	3.0	2.9	2.3	2.9	0	8.0	6.3	5.2	4.7	4.0	3.5
														2.9

(二)林帶對風的影響 林帶的主要防護作用之一是改變了林帶附近的流場結構<sup>[1,2,3]</sup>，最明顯的表現在對風速的削弱作用。其透風度隨林緣的距離的分布，如表3、4及圖6、7所示，為五條不同結構林帶觀測結果。

1. 緊密結構林帶 N<sub>o</sub> I 林緣附近風速極微弱，實際上是一靜風區。隨著距林緣距離的增加，風速急驟增加，至15H處即與曠野風速相等，至20—30H處反而高於曠野。較窄的通風結構林帶 N<sub>o</sub> II 情況相反，在林緣附近風速很大，而遠離林緣風速逐漸減小，至5H附近減至最小，更遠離林帶則風速緩慢增加，到25H處只有曠野的65—75%。較寬的通風結構林帶 N<sub>o</sub> IV 與 N<sub>o</sub> II 有類似之處，即隨著距林緣的距離的增加風速緩慢增加，但較 N<sub>o</sub> II 略為

表 3 № I、II、III-1、III-2、III-3、IV 林带测风资料

	位置 H	曠野	-10	-5	-0	+0	5	10	15	20	25	30	35	40	风向	交角	S 值
№ I	风速 m/秒	40 H	5.6	5.0		0.9	4.3	5.1		5.7		5.7		5.6	W	67.5	0.17
	$\alpha(x) \%$	100	100	89		16	72	91		101		101		100			
№ II	$u_x$ m/秒		7.0	4.9	4.2		6.5	2.8	4.4	4.6	5.6	5.0			SSW	67.5	0.35
	$\alpha(x) \%$	100		70	60		91	40	63	66	80	72					
№ II	$u_x$ m/秒		8.7	4.8	4.4		6.5	2.9	4.5	4.7	5.6	5.4			SW	90.0	0.45
	$\alpha_x \%$	100		55	51		75	33	52	54	64	62					
№ III-1	$u_x$ m/秒		4.2			3.8	3.3	3.6	1.8	3.0	3.4				SSW	67.5	
	$\alpha_x \%$	100				90	71	86	43	71	81						
	$u_x$ m/秒		3.8			3.9	3.2	3.5	1.2	2.7	3.0				SW	90	0.25
	$\alpha_x \%$	100				102	84	92	32	71	79						
	$u_x$ m/秒		3.6			3.4	3.2	2.9	1.6	2.7	3.2				SSW	45	
	$\alpha_x \%$	100				94	89	81	46	75	84						
№ III-3	$u_x$ m/秒		21.0			21.0		15.7	12.5	18.2	17.7				SSW	67.5	
	$\alpha_x \%$	100				100		75	60	87	84				SSW	67.5	
	$u_x$ m/秒		17.7			17.7		14.6	10.9	14.4	15.4				SSW	67.5	
	$\alpha_x \%$	100				100		83	62	82	87				SSW	67.5	
	$u_x$ m/秒		13.1			13.1		10.7	7.9	10.9	11.8				SSW	67.5	
	$\alpha_x \%$	100				100		82	61	83	90				SSW	67.5	
№ IV	$u_x$ m/秒		6.7			6.7		5.5	3.8	5.0	5.3				SSW	67.5	
	$\alpha_x \%$	100				100		82	57	75	79						

表 4 № III-1、III-2 林带微域风速资料

	位 置	曠野	-H	-0H	+0H	1H	2H	3H	4H	风 向
№ III-1	风速 m/秒	3.3	3.2	3.4	3.5	2.3	1.0	1.2	1.3	SW
	$\alpha(\alpha) \%$	100	97	103	106	70	30	32	32	
№ III-2	位 置	曠野	-3H	-1.5H	-0H	+0H	1.5H	3H	4.5H	风 向
	风速 m/秒	6.1	4.4	4.5	4.4	5.3	4.3	4.1	3.8	SW
	$\alpha(\alpha) \%$	100	72	74	72	84	70	67	62	

迅速,林緣附近风速很小,仅有曠野的 40% 左右。

均匀透风結構林带 № III 与紧密結構林带 № I 有些类似。但因観測高度較低(为 0.5 m),根部枝叶較少,风尚能通过,故风速較大。而稍远离林緣风速迅速减小,如表 3 和图 6 所示,以 2H 处为最小,至 5—10H 处(图 7)风速又急驟增加,10H 处即达曠野的 70% 以上,15H 达 80% 以上。

由以上的分析看出緊密結構和均匀通风結構林帶，在近距離內能够更大程度減弱風速，但防护範圍較小。以№ III-1 为例，在  $10H$  以内平均減弱風速 60% 左右，設气象台觀測到的風速为  $20 \text{ m/s}$  ( $10 \text{ m}$  高处)，按对數訂正到  $0.5 \text{ m}$ ，在此處風速不过  $4 \text{ m/s}$ 。气象台測風为  $30 \text{ m/s}$ ，此處  $0.5 \text{ m}$  風速亦不过  $6.2 \text{ m/s}$  左右。由此可見其防护作用之大，故宜于作小形經濟林网。

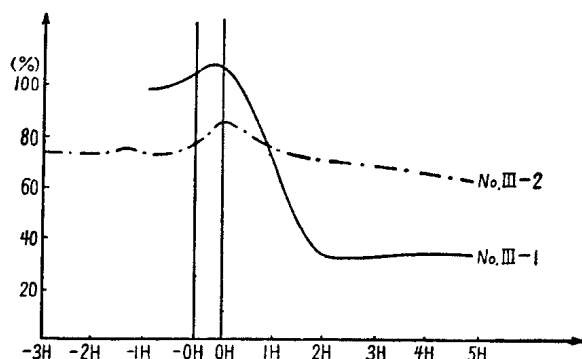


图 6 № III-1、III-2 林帶微域风速分布

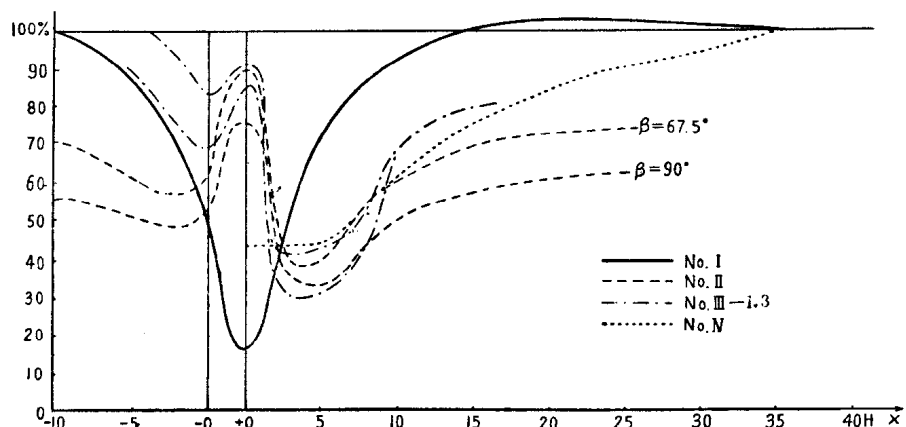


图 7 透風度隨距林緣距離分布圖

通风結構林帶防护範圍較大，至  $25\text{--}30H$  处仍能減弱風速  $20\text{--}30\%$ 。設樹高  $12 \text{ m}$  則在背風面的距離可达  $300 \text{ m}$  以上，故这种类型的林帶宜于作大面积的农田防护林。

2. 表示林帶防护範圍內单位距离上平均空氣运动量的減弱百分率  $S$ ，以通风結構窄林帶为最大，达  $0.45$ ，这說明若以  $-10H\text{--}+20H$  范围为标准，以通风結構林帶效果較好，使林帶附近空氣运动量平均減少  $45\%$ 。緊密結構林帶效果最差， $S$  值只有  $0.17$ 。均匀透風結構林帶  $0.25$  居中。

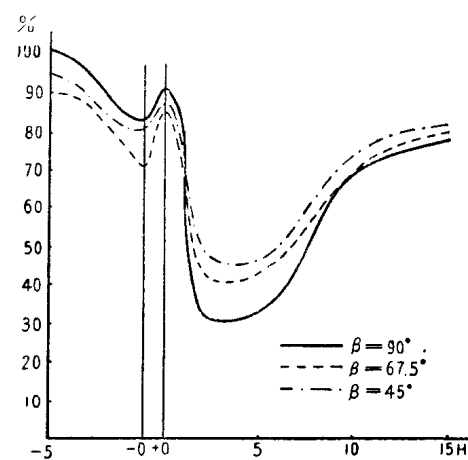


图 8 風向与林帶交角对林帶減弱風速的影响

但若以更小的范围为防护对象，则 $S$ 值就会发生变化，情况可能变得相反，即均匀透风林带 $S$ 值会最大。

3. 林带的防风作用主要决定于林带结构和孔隙度，林带宽度可以在相当大的范围内加以调整。№Ⅱ宽只有三行，而№Ⅳ宽达50m以上，其对风速的减弱程度，稍远离林缘，差别就很小，直到20H以后才相差较多，也仅为10%左右。

4. 由图7、8可看出当林带与风向交角近于90°时，其减弱风速的作用最显著。图8风向与林带交角由90°—45°，在5H处减弱风速由67%—54%。

### (三)林带对乱流交换的影响及防止风沙的作用 林带防止风沙(积雪也同样)及减少水

表 5 № I、Ⅱ、Ⅲ、Ⅳ 林带乱流交换系数及动力速度资料

	位 置	$\frac{\partial u}{\partial z}$	$K'_t/K_t$	$[V'_*/V_*]^3$	$D'/D$	$K'_D/K_D$	$[V'_{*D}/V_{*D}]^3$
№ I	5 H	0.37	1.40	0.52	1.56	1.20	0.42
	10 H	0.61	0.87※	0.54※	1.18	1.15	0.82
	20 H	—	—	—	1.45	—	—
	40 H	0.80	1.00	1.00	1.00	1.00	1.00
№ II	5 H	1.14	1.40	2.80	0.87	0.77	1.14
	10 H	0.61	3.52※	1.46	0.89	0.91	0.62
	15 H	—	—	—	0.84	—	—
	25 H	0.80	1.00	1.00	1.00	1.00	1.00
№ III	5 H	0.77	0.90	0.62	0.95	—	—
	10 H	0.5	2.51	1.66	1.13	—	—
	旷野	0.9	1.00	1.00	1.00	—	—
№ IV	10 H	0.21	1.59	2.54	2.7	—	—
	35 H	0.18	1.00	1.00	1.00	—	—

分蒸发的作用，在于减弱了林带间的乱流交换系数和动力速度。

1m高处的交换系数 $K'_t/K_t(K'_D/K_D)$ ，外扩散系数 $D'/D$ ，动力速度 $V'_*/V_*$ 及 $\frac{\partial u}{\partial z}$ 的观测值或计算值列入表5及图9。

由图及表可知：

1. 动力速度对比值 $[V'_*/V_*]^3$ 对不同结构林带其差别很大，紧密结构林带№I，距林缘5—10H处均甚小，5H处只有旷野的50%左右，且远离林缘略有

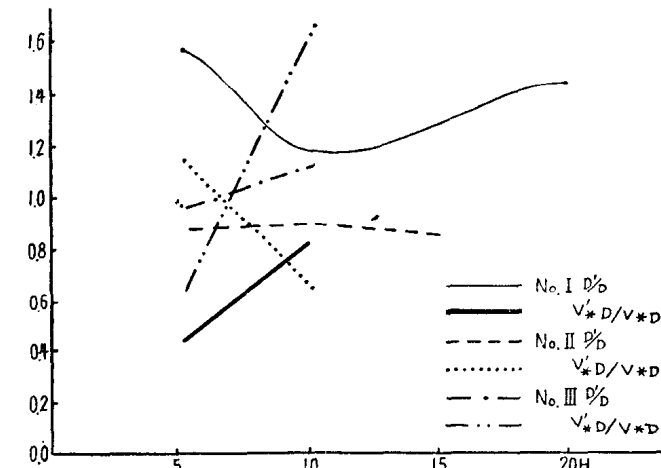


图 9 № I、II、III、IV 林带动力速度外扩散系数分布图

增大，但增大不多。而通风結構窄林帶№Ⅲ情況相反，5H處約為25H處的1.1倍，10H處為0.65倍。故可推得緊密結構林帶附近會有積雪，而通风結構林帶附近有風蝕現象發生會把積雪吹入田野，由林帶根部土壤剝蝕情況可看出風蝕的痕跡，由此可以推想在越近林緣有增大的趨勢。

均勻透風結構林帶№Ⅲ-I與№Ⅱ完全相反，動力速度5H處約為曠野的0.6左右，而10H處則為1.6倍。由此可推得林網中間易受風蝕，而林緣附近會有積沙現象。實際情況也証實了這一推論。如表2所示，這種林網形成一種特殊的小盆地型，林帶附近由於積沙而較高，林網中間由於風蝕而下洼，形成明顯的斜坡，其坡度如表2所示，林緣最大坡度可達8°左右。

2.外擴散系數 $D$ 和亂流交換系數 $K$ ，三種結構類型也有顯著差異，緊密結構林帶№I，以10H處為最小，5H及15H處均甚大，且大於曠野很多。均勻透風結構林帶№Ⅲ則相反，靠近林緣處較小，且小於曠野，遠離林緣較大，10H處為曠野的12倍左右。通风結構林帶介於前兩者之間， $D$ 值隨距林緣之距離變化極小。

因此通风結構林帶林緣附近易受風蝕，不至於形成積雪，而將積雪吹入田野，呈均勻分布。均勻透風林帶則相反，林緣附近易於積雪，較遠處的田野易被吹蝕。且因亂流交換較強，蒸發力也較強。

表5中№Ⅱ林帶之 $K'_1/K_1$ 與 $K'_D/K_D$ 差別甚大，此可能是由於下墊面不同所引起的。25H(對比點)為秋翻地，土壤較干燥，比濕梯度較大，而5H及10H處為白菜地，比濕梯度由於植物的蒸騰而較小，故引起該兩種計算所得結果不同。因而 $D'/D$ 值較為可靠。此外因觀測期間較短，不能作定量指標，只作定性的來了解林帶的作用。

### 三、幾點意見

西部地區地域遼闊，氣象災害類型及強度均不相同，經濟發展亦不平衡，很難要求有統一的林帶的規格。根據觀測結果的分析，對林帶的防護作用和林帶的營造提供下列的參考意見：

(一)林帶寬度可以在相當大的範圍內加以調整。林帶的防護作用，不僅和林帶寬度有關，在更大程度上決定於林帶結構，側視孔隙度，林帶高度等。№Ⅱ林帶寬僅三行和№Ⅳ林帶寬達54米，因同是通风結構林帶，其防風作用相類似，除林緣附近外，相差很小，直到15H處，相差為3—10%。№I林帶寬達45m，其作用與№Ⅲ-I林帶(寬僅兩行)相類似。反之№I與№Ⅳ林帶寬度雖很接近，但結構形式不同，其作用有顯著差異，15H處相差幾乎達30%，№Ⅱ與№Ⅲ林帶寬度亦相似，其對風速的減弱能力15H處相差達10—20%。

因此，營造防護林時可以根據不同經濟條件和自然環境對林帶寬度加以適當選擇。在